

## Lampiran 1

## PERNYATAAN KEASLIAN TULISAN

Saya yang bertanda tangan di bawah ini :

Nama : Isna Afifaya  
NIM : 0910740037  
Program Studi : Program Studi Pendidikan Dokter Gigi  
Fakultas Kedokteran Universitas Brawijaya

menyatakan dengan sebenarnya bahwa Tugas Akhir yang saya tulis ini benar-benar hasil karya sendiri, bukan merupakan pengambilalihan tulisan atau pikiran orang lain yang saya akui sebagai tulisan atau pikiran saya sendiri. Apabila dikemudian hari dapat dibuktikan bahwa tugas akhir ini adalah hasil jiplakan, maka saya bersedia menerima sanksi atas perbuatan tersebut.

Malang, Juni 2013

(Isna Afifaya)

NIM. 0910740037

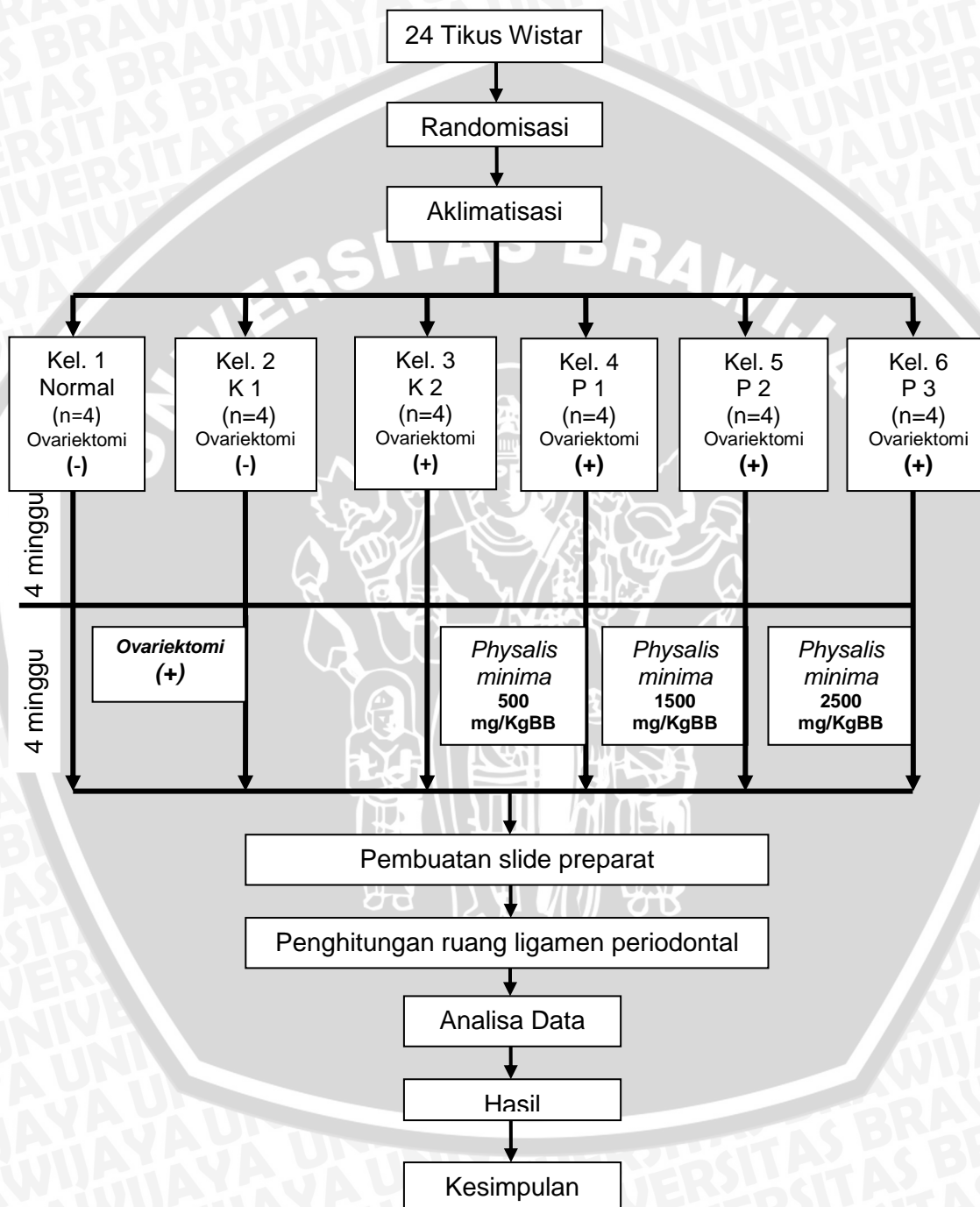
Lampiran 2

Tabel 2.1 Jenis Kolagen (Junqueira, 2007)

Jenis	Komposisi Molekul	Struktur	Mikroskopi Optik	Jaringan Terkait	Fungsi Utama
<i>Kolagen yang membentuk serabut (fibril)</i>					
I	[ $\alpha 1(I)$ ] <sub>2</sub> [ $\alpha 2(I)$ ]	Molekul 300 nm fibril bergurat 67 nm	Serat nonargirofilik tebal, pikrosirius kuat, birefringen	Kulit, tendo tulang, dentin	Tahan terhadap tegangan
II	[ $\alpha 1(II)$ ] <sub>3</sub>	Molekul 300 nm, fibril bergurat 67 nm	Gumparan fibril longgar, birefringen	Tulang rawan. Korpus vitreus	Tahan terhadap tegangan
III	[ $\alpha 1(III)$ ] <sub>3</sub>	Fibril bergurat 67 nm	Fibril argirofilik, birefringen lemah, halus	Kulit, otot, pembuluh darah, sering bersama dengan tipe I	Pemeliharaan struktural pada organ yang dapat melebar
V	[ $\alpha 1(V)$ ] <sub>3</sub>	Molekul 390 nm, domain globular N-terminal	Sering membentuk serat bersama dengan tipe I	Jaringan fetal, kulit, tulang, plasenta, kebanyakan jaringan ikat	Berpartisipasi dalam Fungsi kolagen tipe I
XI	[ $\alpha 1(XI)$ ] [ $\alpha 2(XI)$ ] [ $\alpha 3(XI)$ ]	Molekul 300 nm	Serat kecil	Tulang rawan	Berpartisipasi dalam Fungsi kolagen tipe I
<i>Kolagen Terkait-Fibril</i>					
IX	[ $\alpha 1(IX)$ ] [ $\alpha 2(IX)$ ] [ $\alpha 3(IX)$ ]	Molekul 200 nm	Tak tampak, terdeteksi dengan imunositokimia	Tulang rawan, korpus vitreus	Glikosaminoglikan bulat, bersama kolagen tipe II
XII	[ $\alpha 1(XII)$ ] <sub>3</sub>	Domain terminal-N besar; berinteraksi dengan kolagen tipe I	Tak tampak, terdeteksi dengan imunositokimia	Tendo embrio dan kulit	Berinteraksi dengan kolagen tipe I
XIV	[ $\alpha 1(XIV)$ ] <sub>3</sub>	Domain terminal-N besar; molekul berbentuk palang	Tak tampak, terdeteksi dengan imunositokimia	Kulit dan tendo embrio	
<i>Kolagen yang membentuk fibril penambat</i>					
VII	[ $\alpha 1(VII)$ ] <sub>3</sub>	Domain globular 450 nm pada tiap ujungnya	Tak tampak, terdeteksi dengan imunositokimia	Epitel	Menambat lamina basal epitel kulit pada stroma di bawahnya
<i>Kolagen yang membentuk jalinan kerja</i>					
IV	[ $\alpha 1(VII)$ ] <sub>2</sub> [ $\alpha 1(IV)$ ]	Jalinan hubungan silang dua-dimensi	Tak tampak, terdeteksi dengan imunositokimia	Semua membran basal	Penunjang struktur halus, filtrasi

Lampiran 3

ALUR PENELITIAN



Gambar 4.1 Alur Penelitian

Keterangan :

n = jumlah sampel  
Kel. = Kelompok

K = Kontrol  
P = Perlakuan



Lampiran 4

PROSES OVARIEKTOMI TIKUS PERCOBAAN



**Gambar 1.** Anestesi dengan Ketamin



**Gambar 2.** Pencukuran Bulu Abdomen Transabdominal



**Gambar 3.** Sterilisasi menggunakan Betadine



**Gambar 4.** Insisi



**Gambar 5.** Ligasi saluran oviduk dan pengambilan ovarium



**Gambar 6.** Penjahitan



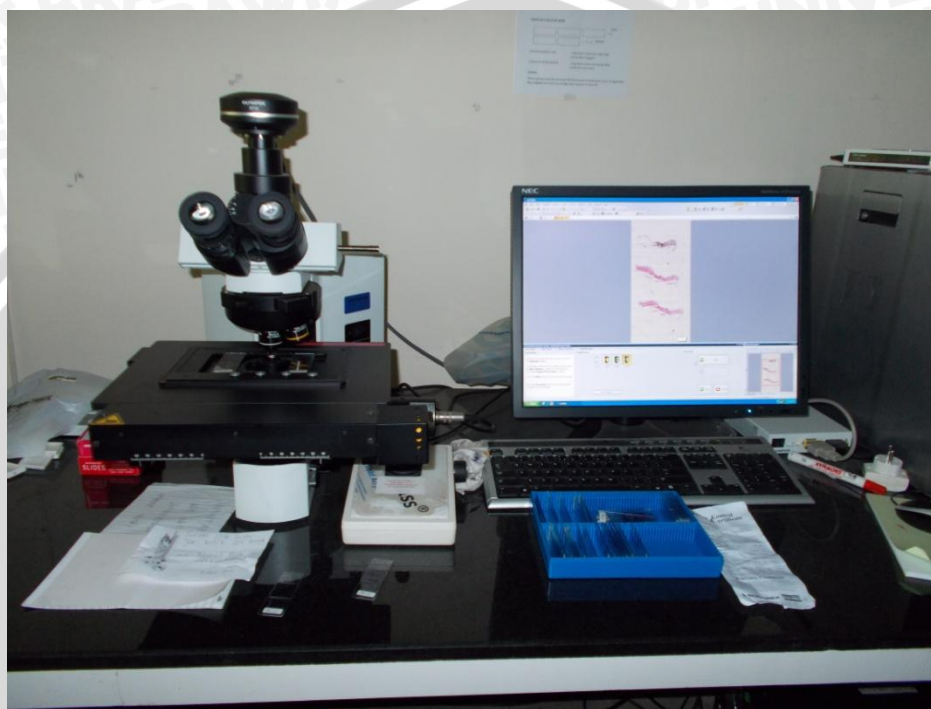
**Gambar 7.** Pemberian betadine dan basitrasin



**Gambar 8.** Penutupan luka dengan kasa steril

Lampiran 5

Instrumen Penelitian untuk Pemeriksaan Histologis Ruang Ligamen Periodontal



Gambar 10. Mikroskop Dot Scan



## Lampiran 6

## DATA HASIL PENELITIAN LEBAR RUANG LIGAMEN PERIODONTAL

No	Perlakuan	Lebar Ligamen Periodontal per 1 lapangan pandang				Lebar Ruang Ligamen Periodontal Total (4 Lapangan Pandang)
		I	II	III	IV	
1.	Normal (N) 1	79,74	94,95	90,80	73,69	339,18
2.	Normal (N) 2	86,16	85,40	76,60	83,68	331,84
3.	Normal (N) 3	82,35	66,43	83,02	90,63	322,43
4.	Normal (N) 4	87,51	58,70	67,18	72,22	285,61
5.	Ovariektomi 30 hari (K1) 1	125,30	113,47	112,77	118,32	469,86
6.	Ovariektomi 30 hari (K1) 2	116,64	110,43	95,21	106,32	428,60
7.	Ovariektomi 30 hari (K1) 3	109,61	98,61	121,83	97,07	427,12
8.	Ovariektomi 30 hari (K1) 4	123,84	115,65	100,53	112,90	452,92
9.	Ovariektomi 60 hari (K2) 1	122,88	120,94	102,50	107,42	453,74
10.	Ovariektomi 60 hari (K2) 2	142,13	144,16	148,93	105,26	540,76
11.	Ovariektomi 60 hari (K2) 3	124,17	110,80	101,32	109,99	446,28
12.	Ovariektomi 60 hari (K2) 4	111,21	120,09	122,88	120,94	475,12
13.	Ekstrak Daun Ciplukan <b>500 mg/kgBB</b> 1	124,30	101,95	93,44	90,31	410
14.	Ekstrak Daun Ciplukan <b>500 mg/kgBB</b> 2	95,68	99,15	100,49	89,31	384,63
15.	Ekstrak Daun Ciplukan <b>500 mg/kgBB</b> 3	98,64	94,56	91,09	98,43	382,72
16.	Ekstrak Daun Ciplukan <b>500 mg/kgBB</b> 4	89,38	110,63	94,19	79,51	373,70
17.	Ekstrak Daun Ciplukan <b>1500 mg/kgBB</b> 1	103,11	92,02	84,83	95,82	375,78
18.	Ekstrak Daun Ciplukan <b>1500 mg/kgBB</b> 2	94,52	84,66	99,86	98,05	377,09
19.	Ekstrak Daun Ciplukan <b>1500 mg/kgBB</b> 3	85,27	89,82	91,95	94,57	361,61
20.	Ekstrak Daun Ciplukan <b>1500 mg/kgBB</b> 4	68,92	78,85	69,18	76,89	293,84
21.	Ekstrak Daun Ciplukan <b>2500 mg/kgBB</b> 1	100,66	78,02	64,32	66,97	309,97
22.	Ekstrak Daun Ciplukan <b>2500 mg/kgBB</b> 2	98,08	83,83	86,47	75,45	343,83
23.	Ekstrak Daun Ciplukan <b>2500 mg/kgBB</b> 3	77,72	77,86	69,19	80,04	304,81
24.	Ekstrak Daun Ciplukan <b>2500 mg/kgBB</b> 4	68,84	83,16	64,81	65,42	282,23

Lampiran 7

Tabel 1. Hasil Uji Normalitas Data dan Uji Homogenitas Varian

**One-Sample Kolmogorov-Smirnov Test**

		Rata-rata Lebar LP
N		24
Normal Parameters <sup>a,b</sup>	Mean	95.5556
	Std. Deviation	17.20227
Most Extreme Differences	Absolute	.111
	Positive	.111
	Negative	-.076
Kolmogorov-Smirnov Z		.544
Asymp. Sig. (2-tailed)		.929

a. Test distribution is Normal.

b. Calculated from data.

**Test of Homogeneity of Variances**

Rata-rata Lebar LP

Levene Statistic	df1	df2	Sig.
.939	5	18	.480



**Descriptives**

Rata-rata Lebar LP

	N	Mean	Std. Deviation	Std. Error	95% Confidence Interval for Mean		Minimum	Maximum
					Lower Bound	Upper Bound		
					1	4		
2	4	111.1581	5.14448	2.57224	102.9721	119.3441	106.78	117.47
3	4	119.7263	10.70774	5.35387	102.6878	136.7647	111.57	135.12
4	4	96.9413	3.89235	1.94617	90.7477	103.1348	93.43	102.50
5	4	88.0200	9.86356	4.93178	72.3249	103.7151	73.46	94.27
6	4	77.5469	6.36295	3.18147	67.4220	87.6717	70.56	85.96
Total	24	95.5556	17.20227	3.51140	88.2917	102.8195	70.56	135.12

**Tabel 2. Hasil Uji Anova**

**ANOVA**

Rata-rata Lebar LP

	Sum of Squares	df	Mean Square	F	Sig.
Between Groups	5817.946	5	1163.589	21.195	.000
Within Groups	988.172	18	54.898		
Total	6806.118	23			





Tabel 3. Hasil Uji Post Hoc dan Uji Korelasi-Regresi

Multiple Comparisons						
Rata-rata Lebar LP						
LSD						
(I) Kelompok	(J) Kelompok	Mean	Std. Error	Sig.	95% Confidence Interval	
		Difference (I-J)			Lower Bound	Upper Bound
1	2	-31.21688 <sup>*</sup>	5.23920	.000	-42.2240	-20.2097
	3	-39.78500 <sup>*</sup>	5.23920	.000	-50.7922	-28.7778
	4	-17.00000 <sup>*</sup>	5.23920	.004	-28.0072	-5.9928
	5	-8.07875	5.23920	.140	-19.0859	2.9284
	6	2.39437	5.23920	.653	-8.6128	13.4015
2	1	31.21688 <sup>*</sup>	5.23920	.000	20.2097	42.2240
	3	-8.56812	5.23920	.119	-19.5753	2.4390
	4	14.21688 <sup>*</sup>	5.23920	.014	3.2097	25.2240
	5	23.13813 <sup>*</sup>	5.23920	.000	12.1310	34.1453
	6	33.61125 <sup>*</sup>	5.23920	.000	22.6041	44.6184
3	1	39.78500 <sup>*</sup>	5.23920	.000	28.7778	50.7922
	2	8.56812	5.23920	.119	-2.4390	19.5753
	4	22.78500 <sup>*</sup>	5.23920	.000	11.7778	33.7922
	5	31.70625 <sup>*</sup>	5.23920	.000	20.6991	42.7134
	6	42.17937 <sup>*</sup>	5.23920	.000	31.1722	53.1865
4	1	17.00000 <sup>*</sup>	5.23920	.004	5.9928	28.0072
	2	-14.21688 <sup>*</sup>	5.23920	.014	-25.2240	-3.2097
	3	-22.78500 <sup>*</sup>	5.23920	.000	-33.7922	-11.7778
	5	8.92125	5.23920	.106	-2.0859	19.9284
	6	19.39437 <sup>*</sup>	5.23920	.002	8.3872	30.4015
5	1	8.07875	5.23920	.140	-2.9284	19.0859
	2	-23.13813 <sup>*</sup>	5.23920	.000	-34.1453	-12.1310
	3	-31.70625 <sup>*</sup>	5.23920	.000	-42.7134	-20.6991
	4	-8.92125	5.23920	.106	-19.9284	2.0859
	6	10.47313	5.23920	.061	-.5340	21.4803
6	1	-2.39437	5.23920	.653	-13.4015	8.6128
	2	-33.61125 <sup>*</sup>	5.23920	.000	-44.6184	-22.6041
	3	-42.17937 <sup>*</sup>	5.23920	.000	-53.1865	-31.1722
	4	-19.39437 <sup>*</sup>	5.23920	.002	-30.4015	-8.3872
	5	-10.47313	5.23920	.061	-21.4803	5.340

\*. The mean difference is significant at the 0.05 level.

**Correlations**

		Rata-rata Lebar Ligamen Periodontal	Dosis
Pearson Correlation	Rata-rata Lebar Ligamen Periodontal	1.000	-.848
	Dosis	-.848	1.000
Sig. (1-tailed)	Rata-rata Lebar Ligamen Periodontal	.	.000
	Dosis	.000	.
N	Rata-rata Lebar Ligamen Periodontal	16	16
	Dosis	16	16

**Model Summary<sup>b</sup>**

Model	R	R Square	Adjusted R Square	Std. Error of the Estimate
1	.848 <sup>a</sup>	.719	.699	9.68349

a. Predictors: (Constant), Dosis

b. Dependent Variable: Rata-rata Lebar Ligamen Periodontal

**Coefficients<sup>a</sup>**

Model		Unstandardized Coefficients		Standardized Coefficients	t	Sig.
		B	Std. Error	Beta		
1	(Constant)	112.536	3.729		30.178	.000
	Dosis	-.015	.003	-.848	-5.985	.000

a. Dependent Variable: Rata-rata Lebar Ligamen Periodontal

